

V-8 变形法による固定アーチ、連続アーチの解法

京都大学工学部 正員 工博 成岡昌太

京都大学工学部 正員 ○児嶋弘行

(1) 緒言

高次不静定構造物の解析法として、従来、連立一次方程式を解く労力の軽減の点から、未知量をどうぞ少なく選定しようとして、多くの場合、解式の誘導においてかなり面倒な手法を必要とするものかかねらず、応力法による解法が広く用いられてゐる。しかし、近年、Digital Computer が普及し、構造解析の分野においてもその利用が容易になってきたため、計算労力の軽減は、むしろ重視する所はなく、むしろ、解式の誘導が機械的に、かつ、迅速にできることが要求される。この点から、変形法による構造物の解析が、今後重視されることが予想される。この点を考慮し、かつ、京都大学においては、電子計算機 KDC-1 が学内一般の使用に供せられるようになつたので、筆者らは、まず、平面アーチ構造を対象として、変形法による近似解法について研究し、KDC-1 によって若干の数値計算を行なつたので、ここで発表する。

(2) 解析に用いた基本式

解析に用いた基本式は、徳島大学、星教授の提示されたもので、立体構造への適用が可能であるが、これを、図-1 のような X-Y 面内にある部材について書けば、式(1)となる。

$$P_{xm} = -\frac{12EI}{l^3} \beta_1 \{ \beta_1 (\delta_{xm} - \delta_{xn}) + \beta_2 (\delta_{ym} - \delta_{yn}) \} - \frac{EA}{l} \alpha_1 \{ \alpha_1 (\delta_{xm} - \delta_{xn}) + \alpha_2 (\delta_{ym} - \delta_{yn}) \} + \frac{6EI}{l^2} \beta_3 \{ \beta_3 (\theta_{xm} + \theta_{xn}) \}$$

$$P_{ym} = -\frac{12EI}{l^3} \beta_2 \{ \beta_1 (\delta_{xm} - \delta_{xn}) + \beta_2 (\delta_{ym} - \delta_{yn}) \} - \frac{EA}{l} \alpha_2 \{ \alpha_1 (\delta_{xm} - \delta_{xn}) + \alpha_2 (\delta_{ym} - \delta_{yn}) \} + \frac{6EI}{l^2} \beta_3 \{ \beta_3 (\theta_{xm} + \theta_{xn}) \}$$

$$m_{xm} = \frac{6EI}{l^2} \beta_3 \{ \beta_1 (\delta_{xm} - \delta_{xn}) + \beta_2 (\delta_{ym} - \delta_{yn}) \} - \frac{2EI}{l} \beta_3 \{ \beta_3 (2\theta_{xm} + \theta_{xn}) \}$$

(3) 节点における釣合方程式

座標軸 X 対する部材の配置を図-2 のようにとって、それに対応する部材に対して式(1)を用い、それを釣合条件式(2)に代入して、式(3)を得る。

$$\left. \begin{aligned} \sum_{xy>0} (\Sigma_{xy}) &= \sum P_{xm} + P_{xn} = 0 \\ \text{とあるのは、平面 I, III, (} & \\ \Sigma_{xy<0} (\Sigma_{xy}) &= \sum P_{ym} + P_{yn} = 0 \\ \text{II, IV) の、また、} & \\ \Sigma_{yz>0} (\Sigma_{yz}) &= \sum m_{xm} + M_{xm} = 0 \\ \text{とあるのは、} & \end{aligned} \right\} (2)$$

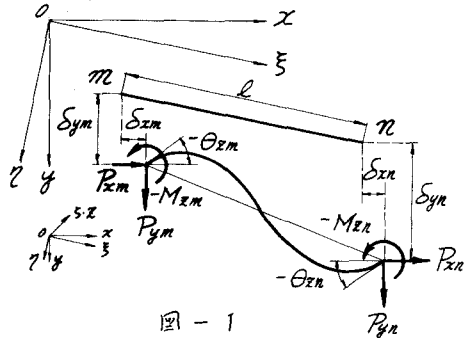


図-1

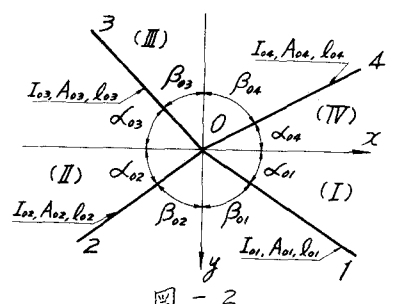


図-2

これ、平面 I, IV (II, III), I, II (III, IV) の部材に関する加算を意味し、單に Σ とあるのは、すべての部材についての加算を意味する。

$$\left. \begin{aligned} & [\sum(\alpha_{oi})\delta_{x0} - \sum(\alpha_{oi})(\delta_{zc})] + [-\sum_{y>0}(b_{oi}) + \sum_{y<0}(b_{oi})]\delta_{yo} + \sum_{y>0}(b_{oi})(\delta_{yc}) - \sum_{y<0}(b_{oi})(\delta_{yc}) \\ & + [\{\sum_{y>0}(\bar{c}_{oi}) - \sum_{y<0}(\bar{c}_{oi})\}\theta_{z0} + \sum_{y>0}(\bar{c}_{oi})(\theta_{zc}) - \sum_{y<0}(\bar{c}_{oi})(\theta_{zc})] = P_{zo} \\ & [\{-\sum_{y>0}(b_{oi}) + \sum_{y<0}(b_{oi})\}\delta_{x0} + \sum_{y>0}(b_{oi})(\delta_{yc}) - \sum_{y<0}(b_{oi})(\delta_{yc})] + [\sum(\bar{\alpha}_{oi})\delta_{yo} - \sum(\bar{\alpha}_{oi})(\delta_{yc})] \\ & + [\{-\sum_{z>0}(\bar{c}_{oi}) + \sum_{z<0}(\bar{c}_{oi})\}\theta_{z0} - \sum_{z>0}(\bar{c}_{oi})(\theta_{zc}) + \sum_{z<0}(\bar{c}_{oi})(\theta_{zc})] = P_{yo} \\ & [\{\sum_{y>0}(\bar{c}_{oi}) - \sum_{y<0}(\bar{c}_{oi})\}\delta_{x0} - \sum_{y>0}(\bar{c}_{oi})(\theta_{zc}) + \sum_{y<0}(\bar{c}_{oi})(\theta_{zc})] + [-\sum_{z>0}(\bar{c}_{oi}) + \sum_{z<0}(\bar{c}_{oi})]\delta_{yo} \\ & + \sum_{z>0}(\bar{c}_{oi})(\delta_{yc}) - \sum_{z<0}(\bar{c}_{oi})(\delta_{yc})] + [\sum(2d_{oi})\theta_{z0} + \sum(d_{oi})(\theta_{zi})] = M_{zo} \end{aligned} \right\} \quad (3)$$

上式中

$$\alpha_{oi} = \frac{12EI_{loc}}{l_{oi}^3} \cos^2 \beta_{oi} + \frac{EA_{oi}}{l_{oi}} \cos^2 \delta_{oi}, \quad \bar{\alpha}_{oi} = \frac{12EI_{loc}}{l_{oi}^3} \cos^2 \bar{\alpha}_{oi} + \frac{EA_{oi}}{l_{oi}} \cos^2 \bar{\beta}_{oi}$$

$$b_{oi} = \left(\frac{12EI_{loc}}{l_{oi}^3} - \frac{EA_{oi}}{l_{oi}} \right) \cos \alpha_{oi} \cos \beta_{oi}, \quad c_{oi} = \frac{6EI_{loc}}{l_{oi}^2} \cos \beta_{oi}, \quad \bar{c}_{oi} = \frac{6EI_{loc}}{l_{oi}^2} \cos \bar{\alpha}_{oi}$$

$$d_{oi} = \frac{2EI_{loc}}{l_{oi}},$$

である。

式(3)から明らかなるように釣合方程式は、 $\delta_x, \delta_y, \theta_z$ を未知数とする連立一次方程式となり、その係数行列は対称行列となる。

(4) アーチへの应用

アーチを図-3 に示す

ように m 個の Segment に分割した場合、拱軸線は各分割点間ににおいて直線であり、かつ、各 Segment においては、断面の諸量

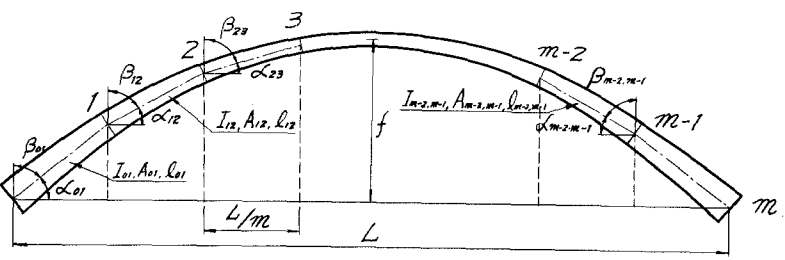


図-3

(I, A) は一定で、分割点において階段的に変化するものと仮定すれば、アーチ構造を、分割点における近似的な直線部材からなる骨組構造として取り扱うことができる。したがって、アーチの各 Segment について式(4)の諸量を計算し、次に、各分割点に対して式(3)を立てれば、釣合方程式を機械的に得ることができる。

上述の方法を用いて筆者らは、固定アーチ、可変アーチ、二重間連続アーチを例にとって、数値計算を行なったが、その結果の詳細、あわせて、釣合方程式の機械的作表法、などについて、上記の式中の記号などについても、講演会当日説明する。